

PAPER DETAILS

TITLE: ESKISEHIR ILINDE YAPI TEMEL KAZILARINDA SIVILASMA IZLERININ ARASTIRILMASI

AUTHORS: Ali Kayabasi

PAGES: 1376-1389

ORIGINAL PDF URL: <https://dergipark.org.tr/tr/download/article-file/3594697>

ESKİŞEHİR İLİNDE YAPI TEMEL KAZILARINDA SİVİLAŞMA İZLERİNİN ARAŞTIRILMASI

Ali KAYABAŞI ^{1*}

¹ Eskişehir Osmangazi Üniversitesi, Jeoloji Mühendisliği Bölümü, Eskişehir,
ORCID No : <https://orcid.org/0000-0001-6460-0628>

Anahtar Kelimeler	Öz
Eskişehir	
Deprem	
Sivilaşma	
Kapak zemin	
Yüzey deformasyonu	<p>Bu çalışmanın amacı, Eskişehir ilinde geçmiş depremlerde sivilaşmanın varlığını araştırmaktır. Bu kapsamında Eskibağlar, Yenibağlar, Vişnelik, Sümer ve Şarhöyük mahallelerindeki temel kazılarda inceleme yapılmıştır. Şarhöyük ve Vişnelik mahallelerindeki temel kazılarda bulunan kum mercekleri dışında belirgin kum sokulumu ve benzeri oluşumlar diğer kazılarda bulunamamıştır. Depremde olacak sivilaşma nedeniyle temel kazılarda yüzey deformasyonu oluşabilirliği de araştırılmıştır. $0.33g$ ve $0.48g$ ivmelerini oluşturacak deprem senaryoları değerlendirilmiştir. $0.33g$ ivme ile olacak bir deprem senaryosunda Şarhöyük ve Sümer mahallelerin temel kazılarda sivilaşma belirlenmemiştir. Yenibağlar, Eskibağlar ve Vişnelik mahallelerindeki temel kazılarda sivilaşabilen seviyeler belirlenmiştir. $0.48g$ ivmeli deprem senaryosunda tüm temel kazi sahalarında sivilaşan seviyeler belirlenmiştir. Bu seviyelerin kalınlıklarının $0.33g$ deprem senaryosuna göre arttığı görülmüştür. Sivilaşma Şiddeti İndeksi-Kapak zemin Kalınlığı (m) abağına göre $0.33g$ deprem senaryosuna göre Yenibağlar mahallesinde deformasyon izi yüzeyde beklenmemektedir. Eskibağlar ve Vişnelik mahallelerinde ise sivilaşma beklenmemektedir. $0.48g$ depremi senaryosuna göre Vişnelik ve Yenibağlar mahallelerinde yüzeyde sivilaşma deformasyonu beklenmektedir. Şarhöyük ve Eskibağlar mahallelerinde yüzeyde sivilaşma izi beklenmezken, Sümer mahallesinde sivilaşma beklenmemektedir.</p>

INVESTIGATION OF LIQUEFACTION TRACES IN BUILDING FOUNDATION EXCAVATIONS IN ESKİŞEHİR CITY

Keywords	Abstract
Eskişehir Earthquake Liquefaction Cap soil Surface deformation	<p>The aim of this study is to investigate the existence of liquefaction in past earthquakes in Eskişehir city. In this context, the presence of liquefaction was investigated in the foundation excavations in Eskibağlar, Yenibağlar, Vişnelik, Sümer and Şarhöyük neighborhoods. No obvious sand intrusions or similar formations were found in foundation excavations except for the sand lenses found in the Şarhöyük and Vişnelik neighborhoods foundation excavations. The possibility of surface deformation during liquefaction at foundation was also investigated. Earthquake scenarios that would produce acceleration of $0.33g$ and $0.48g$ were evaluated. Liquefaction could not be detected in the foundation excavations of Şarhöyük and Sümer neighborhoods with an $0.33g$ earthquake scenario. Liquefiable levels were determined in Yenibağlar, Eskibağlar and Vişnelik neighborhood foundation excavations. Liquefiable levels were determined in all foundation excavation sites with the $0.48g$ earthquake scenario. It was observed that the thickness of these levels increased compared to the $0.33g$ earthquake scenario. With the $0.33g$ earthquake scenario, no trace of deformation is expected on the surface in Yenibağlar neighborhood, according to the Liquefaction Severity Index-Cap Soil Thickness Chart. Liquefaction is not expected in Eskibağlar and Vişnelik neighborhoods. According to the $0.48g$ earthquake scenario, liquefaction deformation is expected on the surface of Vişnelik and Yenibağlar neighborhoods. While no trace of liquefaction is expected on the surface in Şarhöyük and Eskibağlar neighborhoods, no liquefaction is expected in the Sümer neighborhood.</p>

Araştırma Makalesi

Research Article

Başvuru Tarihi

: 12.12.2023

Submission Date

Kabul Tarihi

: 29.04.2024

Accepted Date

: 12.12.2023

: 29.04.2024

* Sorumlu yazar: akayabasi@ogu.edu.tr
<https://doi.org/10.31796/ogummf.1403782>



Bu eser, Creative Commons Attribution License (<http://creativecommons.org/licenses/by/4.0/>) hükümlerine göre açık erişimli bir makaledir.

This is an open access article under the terms of the Creative Commons Attribution License (<http://creativecommons.org/licenses/by/4.0/>).

1. Giriş

Deprem esnasında, suya doygun, kohezyonsuz suya doygun zeminlerin kesme dayanımını kaybetmesine sivilaşma adı verilmiştir. 1930'lu yıllarda Casagrande (1933) ve Mogami ve Kubo (1953) sivilaşma ifadesini ilk kullananlardandır. 27 Mart 1964 tarihli, 9.2 Mw Alaska depremi ve 16 Haziran 1964 tarihli, 7.5 Mw büyülüğündeki Niigata (Japonya) depremi sırasında oluşan sivilaşma doğa olayı yerbilimcilerin ve jeoteknikçilerin araştırma konularından biri olmuştur. Ülkemizde ilk defa Erzincan depreminde (13 Mart 1992, Mw=6.8) sivilaşmanın varlığı fark edilmiştir. 1995 Dinar; 1999 Adana-Ceyhan; 1999 Kocaeli, 1999 Düzce, 2002 Çay-Eber; 2011 Van ve 2023 Kahramanmaraş depremlerinde sivilaşmanın yıkıcı özelliği yaygın olarak gözlenmiştir.

Bu çalışma kapsamında Eskişehir ilinde 5 adet temel kazısında eski sivilaşma izlerinin varlığı araştırılmıştır. Planlanan yapılar için açılan sondaj verileri ve yapılan SPT deneyi sonuçları ile SPT örnekleriyle indeks deneyleri, tane dağılım analizleri ve Atterberg deneyleri gerçekleştirilmiştir. Seed ve Idriss (1982); Seed, Tokimatsu, Harder ve Chung, (1985); Youd ve diğ. (2001) tarafından önerilen sivilaşma analizi yöntemleri kullanılarak, analizler yapılmıştır. Sivilaşmanın yüzeydeki hasarını tahmin edebilmek için Ishihara (1985) de bir abak önermiştir. Bu abak örtü kalınlığını, sivilaşabilir seviye kalınlığı ve deprem büyülüğünü değerlendirmektedir. Sönmez ve Gökceoğlu (2005) aynı şekilde sivilaşmayan örtü kalınlığı ile sivilaşan seviye kalınlığı, en büyük yatay ivme arasındaki ilişkileri incelemiştir ve abak önermiştir. Bu çalışmada Ishihara (1985) ve Sönmez ve Gökceoğlu (2005) abaklarının değerlendirilmesiyle sondaj yerlerinde iki farklı deprem senaryosu ile olası yüzey deformasyonlarının oluşabilirliği incelenmiştir.

1.1. Kazı Alanlarında Sivilaşma İzlerinin Aranması

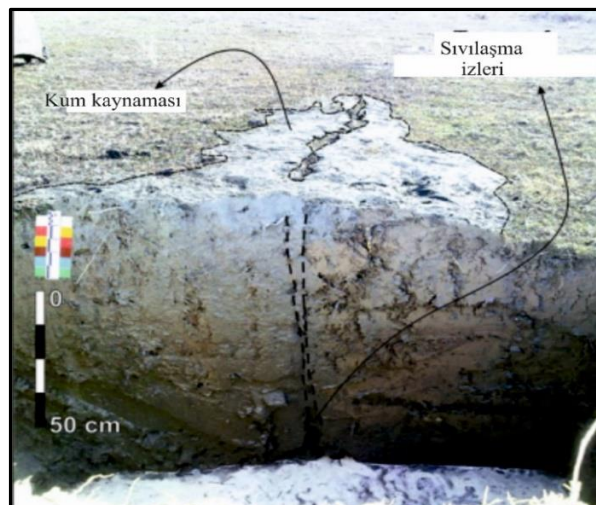
Kum fışkırmaları, yanal yayılma ve yanal yayılma çatlakları uzaktan algılama yöntemleri ile tespit edilebilmektedir. Bununla birlikte bu türlü büyük ölçekli sivilaşma izleri insan aktiviteleri, erozyon, bitki örtüsü gibi etkenlerle izlenemez duruma gelebilir. Yapı temel kazılarında, arkeolojik araştırmalarda veya her türlü kazı işlerinde sivilaşma izleriyle de karşılaşılabilir. Paleodepremlerde olmuş sivilaşma yapılarına Japonya'daki arkeolojik araştırmalarda çok karşılaşılmaktadır. Kanaori, Kawakami, Yairi, ve Hattori, (1993). Orta Japonya alüvyon düzüklüklerinde kazılan 55 arkeolojik bölgede sivilaşma ve akıntı olaylarını çalışmıştır. En dikkat çekici yapılar yüzeye doğru tane boyunun küçüldüğü kum ve çakıl sokulumlardır. Şekil 1'de Osaga, Shiga ve Kyoto eyaletlerinde yapılan kazılarda bulunan sivilaşma yapıları görülmektedir. Sivilaşmanın sadece kumlarda değil çakıl boyundaki tanelerde deoluştugu

görlülmektedir. Bazı arkeolojik eserlerin kumla birlikte taşındığı ve sürüklendiği de görülmüştür (Kanaori ve diğ., (1993)). Arkeolojik yaş tayinleri bu sivilaşma yapılarının üç dönemde olduğunun belirlemiştir. İlk dönem M.O 1000 civarında, ikinci dönem MS 0-500 yıllarında ve MS 1500 yıllarda oluştugu belirlenmiştir.



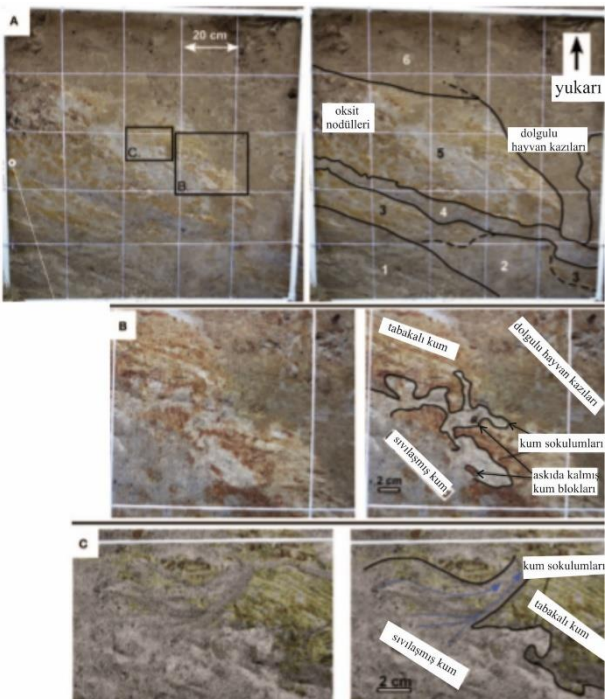
Şekil 1. a) Osaka Eyaletindeki Nishisano ve Yakumo Higashi Kazılarında Sivilaşma Izleri b) Osaka Eyaletindeki Nishikonoike Kalıntılarındaki Sivilaşma Izleri c) Shiga Eyaletindeki Yao Kalıntılarındaki Sivilaşma Izleri. Sivilaşma, Maksimum Çakıl Çapı 10 cm Olan Çakillarda Meydana gelmiştir (Bunun Yayoi Döneminin Ortasında Meydana Gelmiş Olması Kuvvetle Muhtemeldir) d) Kyoto Eyaleti Tsugava Nehir Yatağında Kum Sokulumu (Kanaori ve diğ., 1993).

Akin, Ozvan, Akin ve Topal, (2013) 23 Ekim 2011 de Mw 7.2 olarak gerçekleşen Van (Türkiye) depremini incelemiştir. Sivilaşmanın yüzeye yakın 4m derinlikte olan bir zon içinde olduğunu belirlemiştir. Şekil 2'de yüzeyde ve düşeyde sivilaşmış zemin izleri görülmektedir. Yüzeydeki izler zaman içinde silinse bile düşeydeki izler burada sivilaşmanın gerçekleştiğini ifade etmektedir.

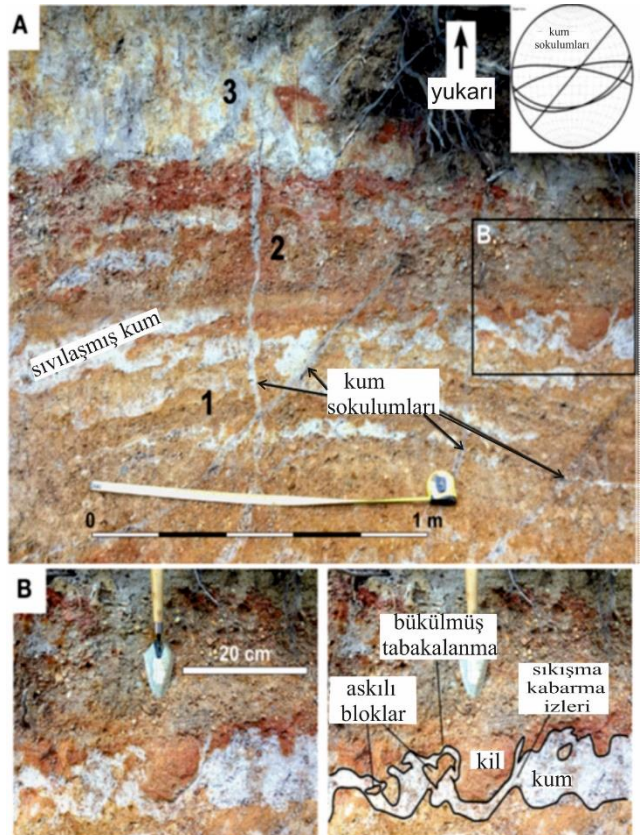


Şekil 2. 23 Ekim 2011 de Mw 7.2 Olarak Gerçekleşen Van (Türkiye) Depreminden Sivilaşma Görünümü (Akin ve diğ., 2013).

Cox, Christopher, Yanjun ve Shanon., (2014)'de Güneydoğu Arkansas (ABD) deki büyük ölçekli kum fişkirmaları alanlarını metrik ölçekte ayrıntılı olarak incelemiştir. Saline nehiri taraçaları ve taşkin alanında Saline fayı üzerinde gerçekleşmiş kıvrımlı kum tabakalanmaları, kıritilmiş sokulumlar, askılı kum blokları, su kaçış olukları gibi küçük ölçekli sivilaşma izlerini belirlemişlerdir (Şekil 3 ve 4). Daha önceden haritalanmış olan büyük ölçekli sivilaşma izlerinin $M>6.5$ büyüklüğünde bir depreme ait olduğu düşünülürken, metrik boyuttaki sivilaşma izlerinden bölgede tek bir depremde oluşan sivilaşma olmadığı ve sivilaşmanın önce belirlenen alandan daha geniş bir alanda gerçekleştiği belirlenmiştir. En uzak sivilaşma ve deprem büyülüğu karşılaştırma görgül eşitliklerinden depremin $M>6.3$ den büyük olabileceği sonucuna varılmıştır.



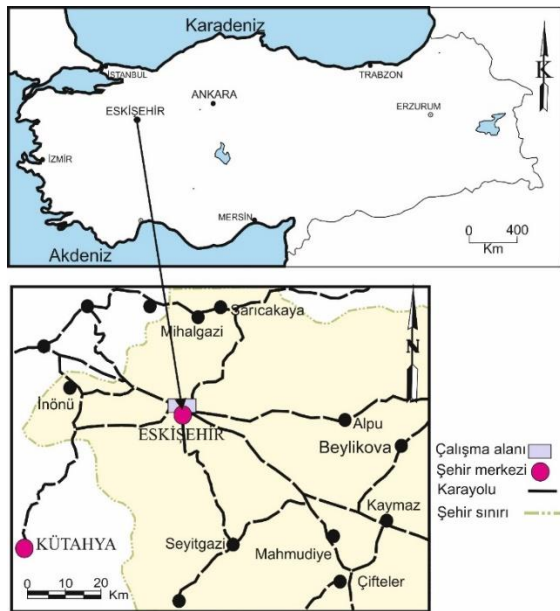
Şekil 3. A, B ve C Simgeli Görüntülerin Üzerindeki Birimlerin Sınırları Çizilerek, Aynı Görüntüler Solda Tekrar Verilmiştir. Ayrıntılı İncelendiğinde Sivilaşan Kum Seviyesinin Sivilaşmayan Kum Seviyesinin İçerisinde Dayk Benzeri Sokulumlar Oluşturduğu Görülmektedir (Cox ve diğ., 2014)



Şekil 4. Üst Birimlere Geçiş Yapmış Kum Sokulumları, Kum Seviyesi İçinde Askıda Kalmış Kil Blokları, Burulmuş Tabakalanma Görünümüleri Önceden Olmuş ve Yüzeyde Belirti Vermemiş Sivilaşma İzleri Belirlenmiştir (Cox ve diğ., 2014).

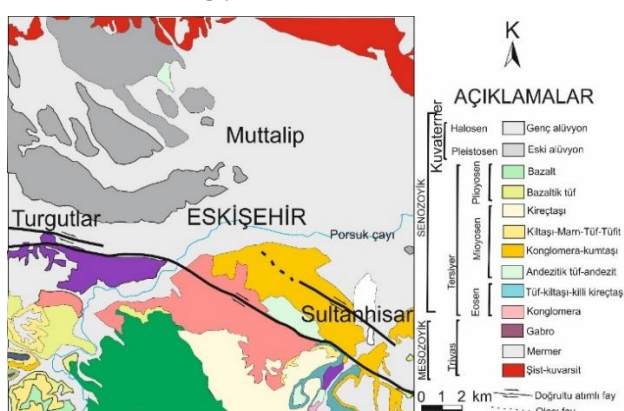
1.2. Çalışma Alanı Jeolojik ve Tektonik Yapısı

Çalışma alanı Eskişehir'in Tepebaşı ilçesi olup, İç Anadolu bölgesinin batısında 36 UTM zonunun N440900-440400 ve E282000-290000 koordinatları arasında, 1/25000 ölçekli Eskişehir İ25 a4 ve İ24 b3 topografik paftalarında yer alır (Şekil 5). Çalışma alanında topografik eğim %0-10 arasındadır. İl merkezi deniz seviyesinden 800 m yükseklik de olup, güneybatı ve kuzeydoğu yönlü 1200 m yüksekliğe ulaşan sırtlar ile çevrilmiştir. Şehrin batısında birleşen Sarısu ve Porsuk Çayları, şehir yerleşiminin yer aldığı geniş bir alüvyal düzlık alanı oluşturmaktadır.



Şekil 5. Çalışma Alanı Yer Bulduru Haritası.

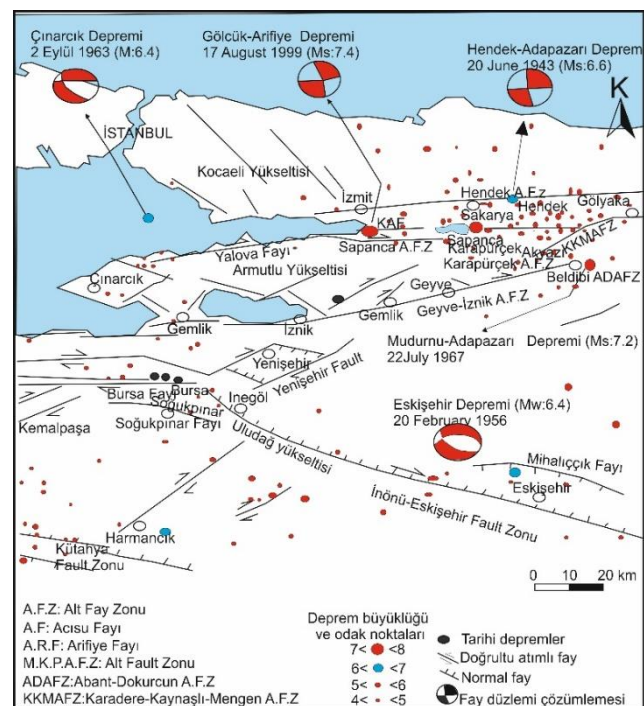
Bölgelerde daha önce yapılan tüm çalışmaların tamamına yakını Gözler, Cevher, Ergül ve Asutay., (1996) tarafından yapılan jeoloji haritaları projesi sonuçlarını temel almaktadır. Bu çalışmada da Gözler ve diğ., (1996) tarafından verilen jeolojik harita esas alınmış ve yaşlıdan gence doğru bölgein jeolojisi aşağıdaki gibi tanımlanmıştır. Bölge, Triyas-Tersiyer yaşı aralığını temsil eden metamorfik, volkanik ve sedimanter kayaçlar ile Kuvaterner yaşı alüvyonlardan oluşmaktadır (Şekil 6). En genç birim Pleistosen yaşılı gevsek tutturulmuş kum, çakıl ve kil taşlarından oluşan eski alüvyon ve Holosen yaşılı kıl, silt ve kum dan oluşan yeni alüvyon birimidir. Çalışmanın temel konusunu oluşturan alüvyon, tabandan tavana doğru kum, çakıl, kumlu düşük plastisiteli silt-kıl, yüksek plastisiteli kıl, kumlu, killi-silt ve bitkisel toprak şeklinde ayırtlanmıştır. Eskişehir ovası'nda yeraltı suyu seviyesi bölgenin en yağışlı dönemi olan Nisan-Mayıs aylarına genel olarak 1.0-8.0 m arasında değişmektedir, Temmuz-Ağustos aylarında ise, yeraltı suyu seviyesi 3-10 m arasında değişmektedir.



Şekil 6. Eskişehir Bölgesi Jeoloji Haritası (Gözler ve diğ., 1996'dan Değiştirilerek Alınmıştır).

Eskişehir'den geçen İnönü-Eskişehir Fay zonu pek çok araştırmanın konusu olmuştur (Altunel ve Barka, 1998; Ocakoğlu, 2007; Ocakoğlu ve Açıkalın, 2009; Ocakoğlu ve Açıkalın, 2010; Seyitoğlu ve diğ., 2015).

Ayday ve diğ.(2001) ve Koyuncu (2001) Eskişehir ve çevresindeki tektonik hatları dikkate alarak, 5 adet riskli deprem kaynağı belirlemiştir (Şekil 7). Bu riskli kaynaklardan ikisi, Kuzey Anadolu Fay zonudur (KAF). Yakın zamanda bu fay zonunda 1999 yılında Kocaeli depremi (Ms 7.4), 1999 yılında Düzce depremi (Ms 7.2) ve 1967 yılında Mudurnu Adapazarı depremi (7.2) gerçekleşmiştir. İnönü-Eskişehir Fay zonu (1956 yılında 6.4 Mw bir deprem oluşturmuştur). Eskişehir'den 56 Km batıdaki Kütahya-Simav Fay zonu da risk oluşturmaktadır.

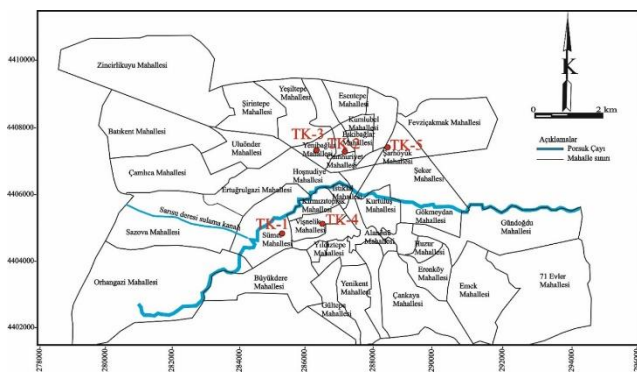


Şekil 7. Eskişehir Bölgesi Sismotektonik Haritası (Doyuran, Koçyigit, Yazıcıgil, Karahanoglu, Toprak, Topal ve Yilmaz (2000)'den Değiştirilerek Alınmıştır).

Bu deprem risk zonlarının oluşturacağı en büyük yatay ivme ise Aydan ve diğ. (1996) nın önerdiği görgül eşitlik ile İnönü-Eskişehir Fay zonunun 323 Gal değeri ile en büyük yatay ivmeyi oluşturma olasılığı hesaplanmıştır (Kayabaşı ve Gökceoğlu, 2018). 40 km uzunluğundaki Çukurhisar-Sultandere fayının (Seyitoğlu ve diğ., 2015) tek seferde kırılması durumunda 6.94 Mw deprem oluşturabileceği ve depremin yumuşak zeminde $a_{max}=0,48$ g değerine ulaşabilecek ivme oluşturabileceği hesaplanmıştır (Kayabaşı ve Gökceoğlu, 2018).

2.Yöntem

Eskişehir kentinin merkezi kısmında seçilmiş olan 5 temel kazısında sivilaşma potansiyelinin değerlendirilmesi ve kazılarda eski sivilaşma izleri varlığı araştırılmıştır. Temel kazılarının lokasyonu Şekil 8'de verilmiştir. Alüvyon saha genelinde değişik kalınlıklarda çakılı, kumlu, siltli ve killi seviyelerden oluşmaktadır. Genel olarak, sahada alüvyal zeminlerde değişik kalınlıklarda ve yüzeyden yaklaşık 3 ile 6 m derinlikler arasında siltli kum, siltli kil ve çakılı kum seviyeleri bulunmaktadır. İnceleme alanı genelinde alüvyonun 3 ile 6 metreleri arasında, sivilaşmaya aday ve kolay sivilaşabilen zeminler için, çakılı kum ve siltli kumların varlığının yanı sıra, yer altı suyu seviyesinin 3-7 m gibi derinliklerde sig konumda bulunmasının sivilaşma için uygun ortamlar hazırlayabileceği dikkate alınarak, bu zeminler sivilaşma potansiyeli açısından değerlendirilmiştir. 6.94 ve 6.4 büyülüğündeki olasılık iki deprem senaryosu ile bu temel kazılarında sivilaşma analizleri yapılmıştır. Sivilaşma analizlerinde temel kazıları için yapılan zemin etüt raporlarından faydalanılmıştır. Japonya'da, Port ve Harbour Araştırmalar Enstitüsü (1997)'de tane boyu dağılımı açısından potansiyel sivilaşma eğilimine sahip olan zeminler ile en kolay sivilaşan zeminler için sivilaşmanın alt ve üst sınırlarını gösteren tane boyu dağılımı eğrileri ve bu çalışmada belirlenen sivilaşan seviyelerin tane boyu dağılım eğrileri de değerlendirilmeye dahil edilmiştir. SPT örneklerinden yapılan tane boyu analiz eğrileri genel olarak kolay sivilaşabilen zemin sınırları (alt sınır) aralığına girmemekle birlikte, potansiyel sivilaşma (üst sınır) aralığında yoğunlaşmaktadır. Ayrıca, sivilaşmanın yüzeyde deformasyon oluşturup oluşturmayacağı tahmin edilmeye çalışılmıştır. Bu çalışmada araştırma ve yayın etliğine uyulmuştur.

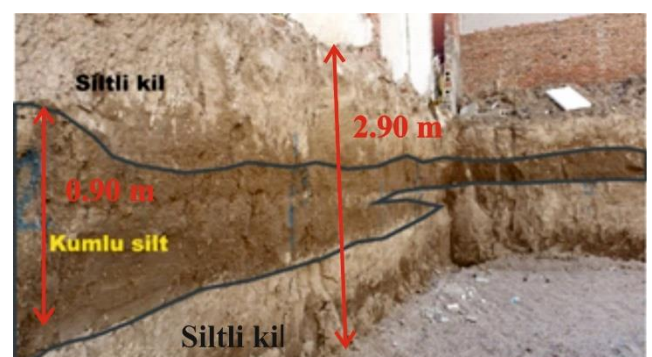


Şekil 8. Temel Kazı (TK) Yerleri Lokasyon Haritası

2.1.Temel Kazıları

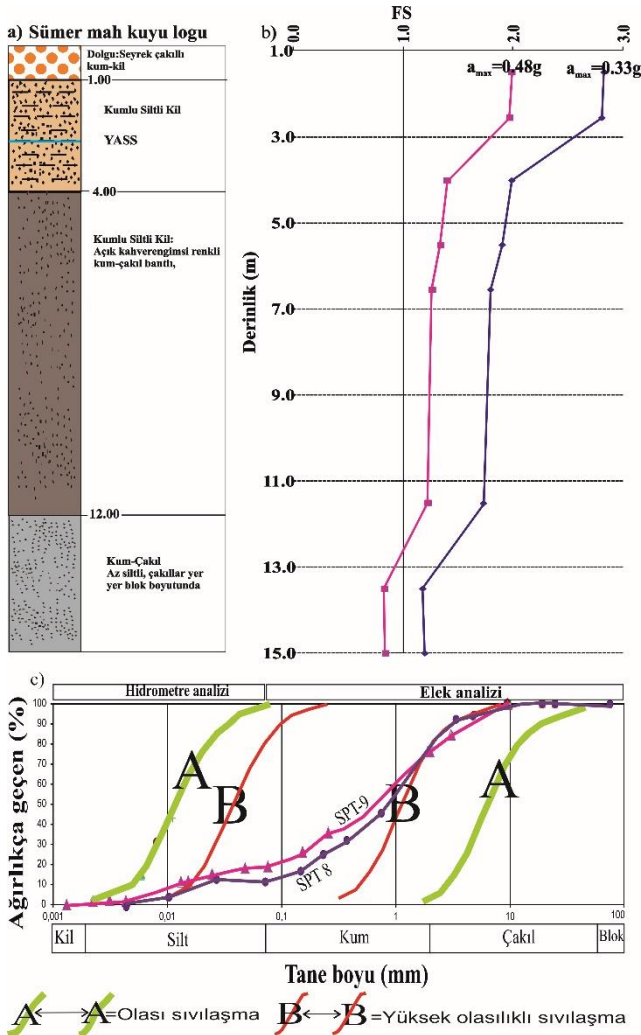
2.1.1.Temel Kazısı (Sümer Mahallesi)

Sümer mahallesi Samimiyet Sokakta (36S 284411,95D 4404942,25K) açılan yapı temel kazısının derinliği 2.90 m eni 12 m boyu 18 m.'dir (Şekil 9). Yüzeyden 1.20 m. derinlikde olan siltli kil düşük plastisiteli, kuru ve açık kahverengi renklidir. Siltli kil biriminin altında 70-90 m kalınlıklarda kumlu silt birimi düşük plastisiteli, nemli ve koyu kahve renktedir. Kumlu siltten sonra 1.10 m kalınlıkta kuruma çatlaklı, açık kahverenkl siltli kil yer almaktadır.



Şekil 9. Sümer Mahallesi Samimiyyet Sokak Temel Kazısından Bir Görünüm.

Bu temel kazısında 15.0 m sondaj açılmıştır. Yeraltısuyu ile 2.5 m'de karşılaşılmıştır. Açılan sondajda 1m'lik dolgu sonrasında, kumlu siltli kil (11.00 m.) ve kumçakıl seviyeleri kesilmiştir (Şekil 10a). Sondajda yapılan SPT deney verileri ve laboratuvar deney sonuçları kullanılarak Seed ve Idriss (1982)'nin önerdiği yöntem kullanılarak sivilaşma analizleri yapılmıştır. Sivilaşma analizleri $a_{max}=0,48$ ve $a_{max}=0,33$ ivmelerini oluşturabilecek deprem senaryolarına göre yapılmıştır. Yapılan sivilaşma analizi sonucunda derinlik-güvenlik katsayısı grafiği Şekil 10'da verilmiştir. $a_{max}=0,48$ ivme oluşturacak depremin gerçekleşmesi durumunda, 13.50 m. sonrasında sivilaşma riski belirlenmiştir. $a_{max}=0,33$ durumunda bu temelde sivilaşma riski beklenmemektedir.



Şekil 10. Sümer Mahallesi Samimiyyet Sokak a) Temel Araştırma Kuyu Logu b) Derinlik-Sivilaşma Grafiği c) Sivilaşan Seviyelerin Tane Boyu Dağılım Eğrileri.

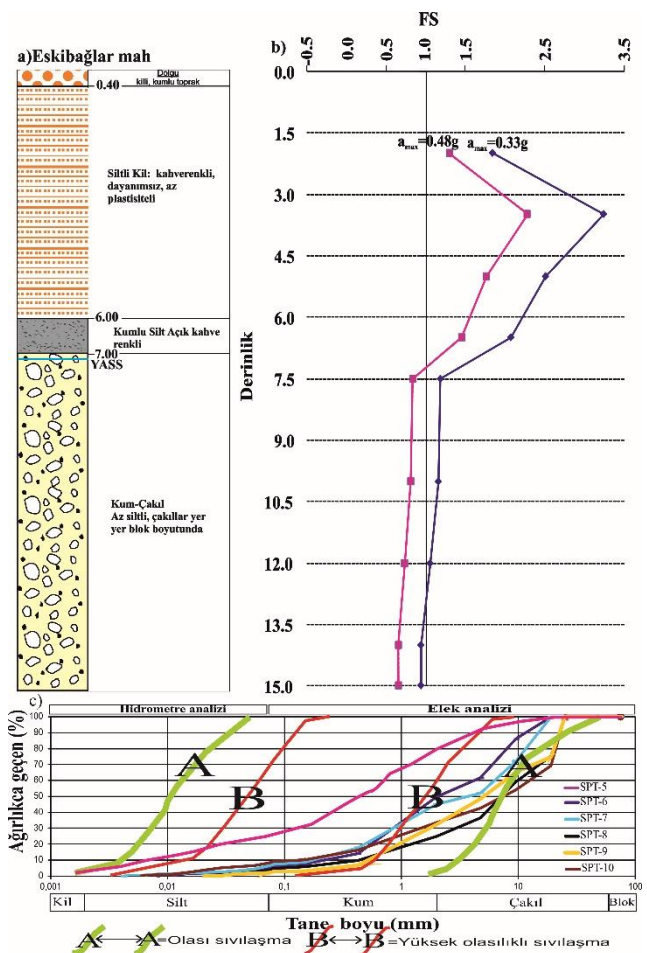
2.1.2 Temel Kazısı (Eskibağlar Mahallesi)

Eskibağlar mahallesi, Gerez Sokakta (36S287029,82D 4406698,15K) açılan yapı temel kazısının derinliği 2 m, eni 24 m boyu 64 m'dir (Şekil 11). Kalınlığı 1.10 m olan dolgu onun altında 90 cm kalınlığında ıslak, kuruma çatıtları az, aşağıya doğru ıslaklılığı artan, rengi koyu kahverengi olan siltli kil yer almaktadır. Yapı temel kazısında bulunan sondaj deligiğine şerit metre bırakılarak yeraltı suyu 4.5 m olarak ölçülmüştür.



Şekil 11. Eskibağlar Mahallesi Gerez Sokak Temel Kazısından Bir Görünüm.

Bu temel kazısında 15 m sondaj açılmıştır. Yapılan sivilaşma analizi sonucunda derinlik-güvenlik katsayı grafiği Şekil 12'de verilmiştir. Sondaj kuyusunda yapılan SPT deneyleri ve alınan örneklerden yapılan laboratuvar deneyleri sonuçları ile sivilaşma analizi yapılmıştır. $a_{max}=0,48$ ivme oluşturacak depremin gerçekleşmesi durumunda, 7.5 m-15.0 m arasında sivilaşma riski tespit edilmiştir. $a_{max}=0,33$ durumunda bu temelde sivilaşma riski 10.0 m sonrası sivilaşma riski vardır.



Şekil 12. Eskibağlar Mahallesi Gerez Sokak a) Temel Araştırma Kuyu Logu b) Derinlik-Sivilaşma Grafiği c) Sivilaşan Seviyelerin Tane Boyu Dağılım Eğrileri.

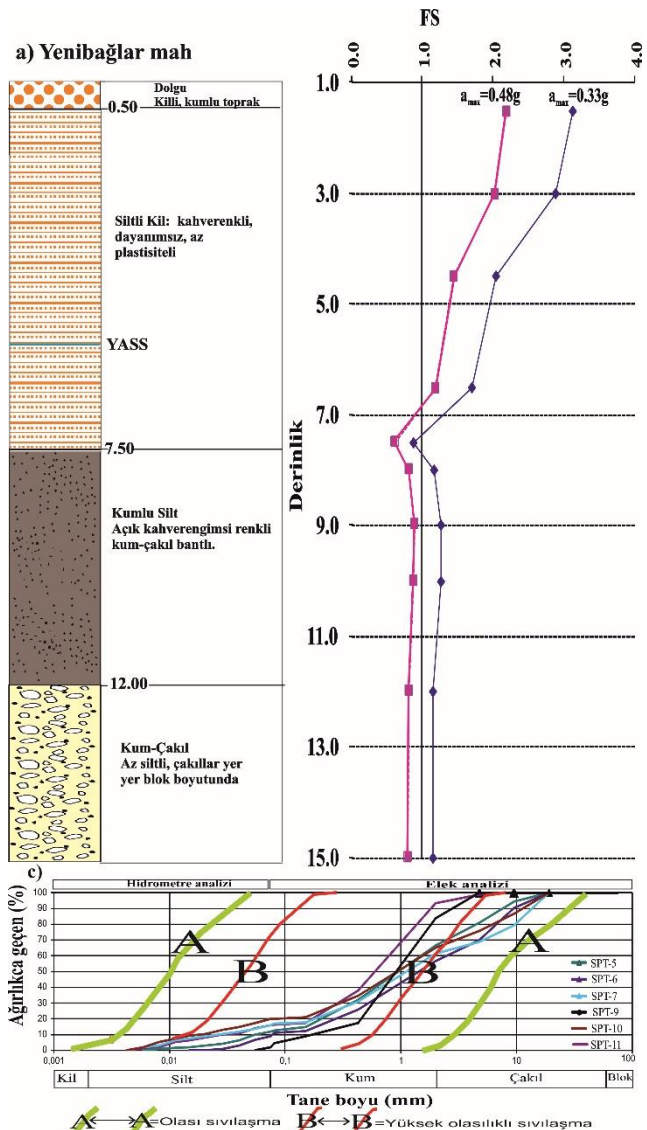
2.1.3 Temel Kazısı (Yenibağlar Mahallesi)

Yenibağlar Mahallesi Erözlü Sokak (36S 286667.43D 4406734,48K) yapı temel kazısının derinliği 3.5 m eni 21 m boyu 62 m'dir (Şekil 13). Temel kazısında yüzeyden sonra İstifin 25 cm kalınlığında dolgu, dolgunun altında kalınlığı 1.5 m kuruma çatlağı aşağıya doğru artan ve rengi açık kahverengi olan siltli kil, siltli kilin altında kalınlığı 65 cm, nemli, rengi koyu kahverengi olan kumlu silt ve 1.10m kalınlığında ki siltli kil yer almaktadır.



Şekil 13. Yenibağlar Mahallesi Erözlü Sokak Temel Kazısından Bir Görünüm.

Bu temel kazısında 15 m sondaj açılmıştır. Yeraltısu 5.20 m'dedir. 0.50 m dolgu sonrası 7.50 m derinlige kadar düşük plastisiteli, düşük dayanımlı siltli kil yer almaktadır. Siltli kil seviyesinin altında 12.0 m derinlige kadar kum-çakıl bantlı kumlu silt seviyesinden sonra kum-çakıl seviyeleri kesilmiştir. Yapılan sivilaşma analizi sonucunda derinlik-güvenlik katsayısı grafiği Şekil 14'de verilmiştir. $a_{max}=0,48$ ivme oluşuracak depremin gerçekleşmesi durumunda, 7.0 m den sonraki seviyelerde sivilaşma riski tespit edilmiştir. $a_{max}=0,33$ durumunda bu temelde sivilaşma riski 7.0-8.0 m arasında sivilaşma riski vardır.



Şekil 14. Yenibağlar Mahallesi Erözlü Sokak a) Temel Araştırma Kuyu Logu b) Derinlik-Sivilaşma Grafiği c) Sivilaşan Seviyelerin Tane Boyu Dağılım Eğrileri.

2.1.4 Temel Kazısı (Vişnelik Mahallesi)

Vişnelik mahallesi, Özveren Sokak (36S285725,60D 4404913,14K) yapı temel kazısı derinliği 2m, eni 21m, boyu 45m'dir (Şekil 15). Temel kazısı 2 m kalınlıkta nemli, kahverenkli siltli kilden oluşmaktadır.



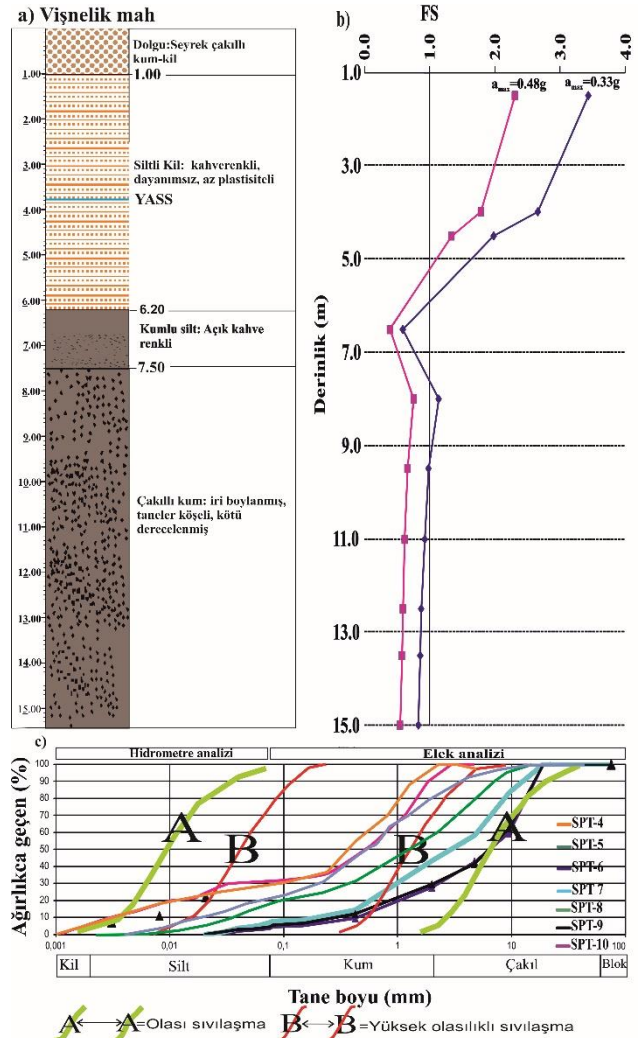
Şekil 15. Vişnelik Mahallesi Özveren Sokak Temel Kazısından Bir Görünüm.

Siltli kil içerisinde yuvarlak ve yarı yuvarlak çapları 1-3 cm arasında küçük çakıllar yer almaktadır. Siltli kilin içerisinde geçmiş yıllara ait sivilasca izleri olarak değerlendirildiğimiz boyutları 10 cm'yi geçmeyen ve ince çakıl mercekleri görülmüştür (Şekil 16).



Şekil 16. Kum ve Çakıl Mercekleri

Temel kazısında 15 m sondaj açılmıştır. Yeraltısu 3.9 m'de karşılaşılmıştır. Sondajda yapılan SPT deneyi ve alınan örneklerden yapılan laboratuvar deneyi verileri ile sivilasca analizi yapılmıştır. Yapılan sivilasca analizi sonucunda derinlik-güvenlik katsayısı grafiği Şekil 17'de verilmiştir. $a_{max}=0.48g$ ivme oluşturacak depremin gerçekleşmesi durumunda sivilasca 5.0 m den sonrası için muhtemel sivilasca beklenmelidir. $a_{max}=0.33g$ ivme oluşturacak deprem durumunda 6.0-7.5 m arası ve 9.5 m sonrasında muhtemel sivilasca oluşabilecektir.



Şekil 17. Vişnelik Mahallesi, Özveren Sokak a) Temel Araştırma Kuyu Logu b) Derinlik-Sivilasca Grafiği c) Sivilasın Seviyelerinin Tane Boyu Dağılım Eğrileri.

2.1.5. Temel Kazısı (Şarhöyük Mahallesi)

Şarhöyük Mahallesi Adaçal Sokak (36S284411,95D 44044942,25K) yapı temel kazısı derinliği 4m eni 18m boyu 42m'dir (Şekil 18). Temel kazısında yüzeyden itibaren kalınlığı 1.60m, taneleri belirgin olmayan, dayanımsız, elle dağılan, kuru, rengi açık kahverengi olan siltli kil gözlenmiştir. Siltli kil altında kalınlığı 37 cm, çakılları yuvarlak-yarı yuvarlak ortalama 1cm çapda, yaklaşık %30 çakıl %70 kum, gevşek, tabakalı çakılık kum seviyesi yer almaktadır.



Şekil 18. Şarhöyük Mahallesi Adaçal Sokak

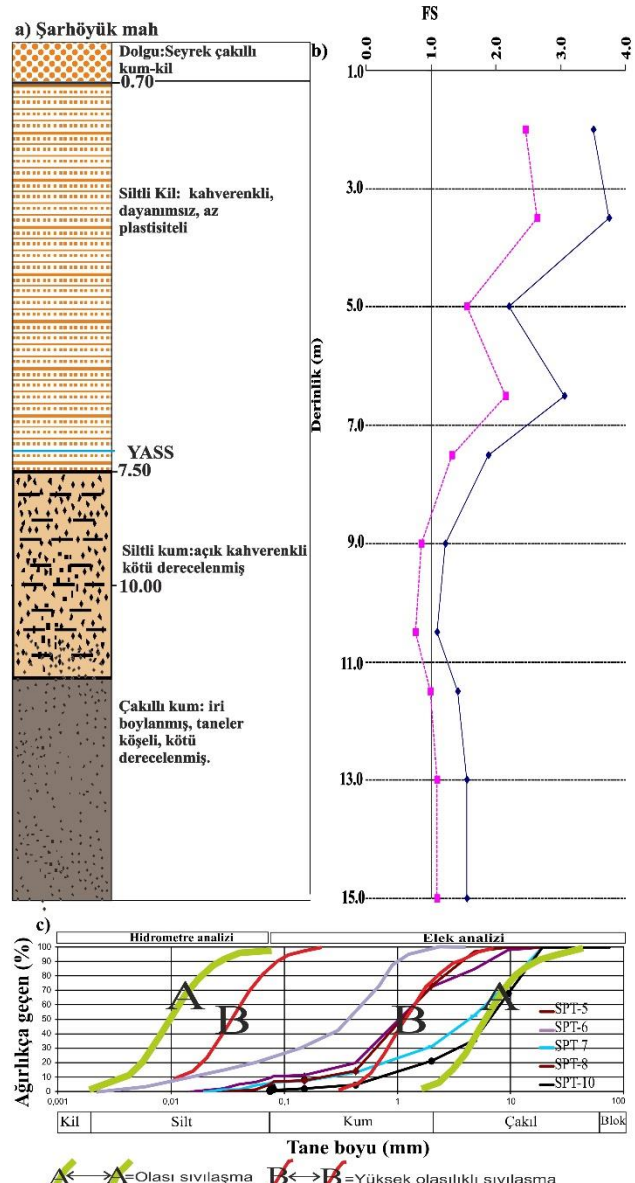
Temel kazısının en altındaki siltli kil seviyesi ise üstteki siltli kil seviyesine göre kil oranı fazla, dayanımlı, daha koyu renklidir. Siltli kilin içerisinde geçmiş yıllara ait sıvılaşma izleri veya sedimentasyon olarak düşünülen 5 cm'yi geçmeyen mercekçi çakılı kumlar yer almaktadır (Şekil 19).



Şekil 19. Şarhöyük Mahallesi Adaçal Sokak Yapı Temel Kazısında Çakılı-Kum Mercekleri.

Temel kazısında 15 m sondaj açılmıştır. Yeraltısu yuna 7.2 m'de girilmiştir. 0.7 m dolgu sonrasında 7.5 m derinliğe kadar dayanımsız, düşük plastisiteli siltli kil seviyesi kesilmiştir. Siltli kil seviyesinin altında killi siltli kum 11.0 m'den sonra çakılı kum birimine dönüşmüştür (Şekil 20 a). Yapılan sıvılaşma analizi sonucunda derinlik-güvenlik katsayıları grafiği Şekil 20b'de verilmiştir. $a_{max}=0.48g$ ivme oluşturacak depremin gerçekleşmesi durumunda sıvılaşma 6.5 m-7.0 m ile 8.5 m-11.5 m arası için muhtemel sıvılaşma

beklenmelidir. $a_{max}=0.33g$ ivme oluşturacak deprem durumunda 6.5-7.0 m arasında muhtemel sıvılaşma riski vardır.



Şekil 20. Şarhöyük Mahallesi Adaçal Sokak a) Temel Araştırma Kuyu Logu b) Derinlik-Sıvılaşma Grafiği c) Sıvılaşan Seviyelerin Tane Boyu Dağılım Eğrileri.

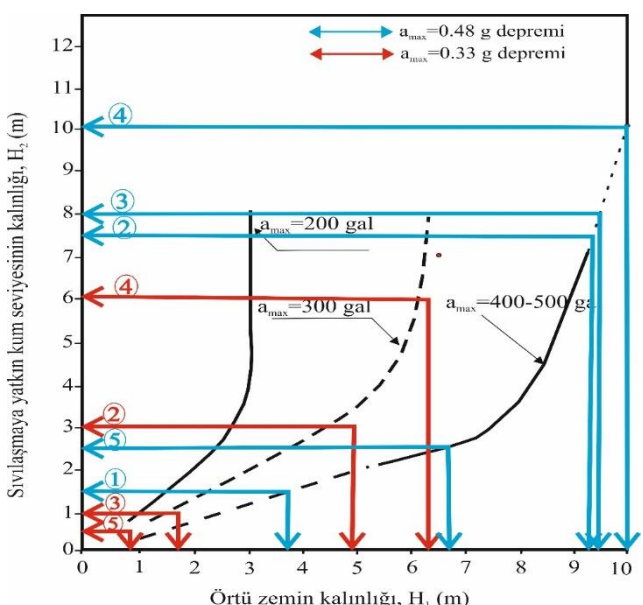
3. Temel Kazlarında Yüzey Deformasyonu Varlığının Değerlendirilmesi

Tablo 1'de temel kazı yerlerinde olabilecek sıvılaşma seviyeleri verilmiştir. $0.33g$ deprem senaryosunda sıvılaşan seviyelerin kalınlığının $0.48g$ deprem senaryosunda arttığı görülmektedir.

Temel kazlarından sıvılaşmanın yüzey deformasyonu oluşturup, oluşturmayacağı Ishihara (1985) grafiği ile değerlendirilmiştir (Şekil 21).

Tablo 1. Yapı Temel Kazalarında Sıvılaşabilir Seviyeler

Temel kazı lokasyonu	SPT verileriyle (m) (0.33g depremi)	SPT verileriyle (m) (0.48g depremi)
Sümer Mahallesi	Sıvılaşma yok	(13.50-15.00)
Eskibağlar Mahallesi	(12.00-15.00)	(7.50-15.00)
Yenibağlar Mahallesi	(7.00-8.00)	(7.00-15.00)
Vişnelik Mahallesi	(6.00-7.50)-(9.50-15.00)	(5.00-15.00)
Şarhöyük Mahallesi	Sıvılaşma yok	(8.50-11.50)



Şekil 21. Ishihara (1985) Abağının İle Temel Kazalarına Uygulanması.

1 no'lu temel kazısının olduğu Sümer mahallesi incelemesinde $a_{max}=0.33$ g deprem senaryosunda sıvılaşma oluşmamaktadır. Aynı temel kazısında $a_{max}=0.48$ g gerçekleşmesi durumunda 13.5 m-15.0 m arasında sıvılaşma oluşabileceği belirlenmiştir. Ishihara(1985) grafiğine bakıldığından 1.5 m lik sıvılaşan bir seviyenin yüzey deformasyonu oluşturmaması için en az 3.75 m kalınlıktan az örtü tabakası olması gerekmektedir. 1 nolu temel kazısında ise örtü tabakası 13.5 m. dir. Sonuçta bu temel kazısında $a_{max}=0.48$ g deprem senaryosu gerçekleşmesi durumunda yüzey deformasyonu oluşmayacaktır.

2 no'lu temel kazısının olduğu Eskibağlar mahallesi incelemesinde $a_{max}=0.33$ g deprem senaryosunda 12.0 m-15.0 m ler arasında sıvılaşma oluşmaktadır. Yüzey deformasyonu oluşması için 5 m den az örtü tabakası olmalıdır. Örtü tabakasının kalınlığı 12 m olduğu için yüzey deformasyonu beklenmemektedir. Aynı temel kazısında $a_{max}=0.48$ g gerçekleşmesi durumunda 7.5 m-15.0 m arasında sıvılaşma oluşabileceği belirlenmiştir. Ishihara(1985) grafiğine bakıldığından 7.5 m lik sıvılaşan bir seviyenin yüzey deformasyonu oluşturmaması için en az 9.25 m kalınlıktan az örtü tabakası olması gerekmektedir. 2 nolu temel kazısında ise örtü tabakası

7.5 m dir. Sonuçta bu temel kazısında $a_{max}=0.48$ g deprem senaryosu gerçekleşmesi durumunda yüzey deformasyonu olacaktır.

3 no'lu temel kazısının olduğu Yenibağlar mahallesi incelemesinde $a_{max}=0.33$ g deprem senaryosunda 7.0 m-8.0 m ler arasında sıvılaşma oluşmaktadır. Yüzey deformasyonu oluşması için 1.8 m den az örtü tabakası olmalıdır. Örtü tabakasının kalınlığı 7 m olduğu için yüzey deformasyonu beklenmemektedir. Aynı temel kazısında $a_{max}=0.48$ g gerçekleşmesi durumunda 7.0 m-15.0 m arasında sıvılaşma olabileceği belirlenmiştir. Ishihara (1985) grafiğine bakıldığından 8.0 m lik sıvılaşan bir seviyenin yüzey deformasyonu oluşturmaması için en az 9.5 m kalınlıktan az örtü tabakası olması gerekmektedir. 3 nolu temel kazısında ise örtü tabakası 7.0 m dir. Sonuçta bu temel kazısında $a_{max}=0.48$ g deprem senaryosu gerçekleşmesi durumunda yüzey deformasyonu olacaktır.

4 nolu temel kazısı Vişnelik mahallesi kazasıdır. Bu temel kazısında $a_{max}=0.33$ g durumunda 6-7,5 m arasında ve 9.5-15.0 m arasında sıvılaşabilir seviyeler belirlenmiştir. Ishihara (1985) abağına göre 6 m'lik sıvılaşabilir zeminin yüzey deformasyonu oluşturabilmesi için yaklaşık 6.2 m kalınlığından az örtü zemini gereklidir. Gerçekde ise sıvılaşabilir ilk 1.5 m üzerinde 6 m örtü zemini vardır. Ishihara (1985) abağı iki ayrı sıvılaşabilir zemine cevap vermemektedir. Bu deprem senaryosu ile yüzey deformasyonu beklenmemelidir. $a_{max}=0.48$ g durumunda ise 5.0 m-15.0 m arasında sıvılaşma eğimli zemin belirlenmiştir. Ishihara (1985) grafiğine göre 10 m sıvılaşabilir zemin üzerinde yaklaşık 10 m kalınlığında sıvılaşabilir örtü tabakası olması durumunda yüzey deformasyonu beklenmemelidir. Gerçekde ise 5 m kalınlıkta örtü seviyesi vardır. Bu durumda 4 nolu temel kazısında $a_{max}=0.48$ g depremi gerçekleşmesi durumunda yüzey deformasyonu gerçekleşecektir.

5 nolu temel kazısı Şarhöyük mahallesi kazasıdır. Bu temel kazısında $a_{max}=0.33$ g deprem senaryosunda 6.5 m-7.0 m arasında sıvılaşma olacaktır. Yüzey deformasyonu beklenmemektedir. Aynı temel kazısında $a_{max}=0.48$ g gerçekleşmesi durumunda 6.5 m-7.0 m ve 8.5m-11.5 m arasında sıvılaşma olabileceği belirlenmiştir. Ishihara (1985) abağı iki farklı seviyede sıvılaşma olması durumunda yüzey deformasyonu olup olmayacağına cevap vermemektedir. İki sıvılaşabilir seviyenin toplam kalınlığı 3.0 m olarak alınıp, tek seviye olarak kabul edilmesi durumunda, ilk sıvılaşan seviyenin üzerinde 6.5 m örtü vardır. Yüzey deformasyonu olmaması için yaklaşık 8.0 m örtü tabakası olması gerekmektedir. Sonuçta bu kabullenme ile temel kazısında $a_{max}=0.48$ g deprem senaryosu gerçekleşmesi durumunda yüzey deformasyonu olabilecektir. Çizelge 2'de Ishihara yöntemi ile yapılan analizler özetlenmiştir.

Tablo 2. Ishihara (1985) Abaına Göre Temel Kazalarında Yüzey Deformasyonu Tahmini.

Temel kazası	$a_{max} = 0.33g$		$a_{max} = 0.48g$	
	Kapak zemin kalınlığı (m)	Yüzey deformasyonu	Kapak zemin kalınlığı (m)	Yüzey deformasyonu
Sümer ^a Mahallesi	-	yok	13.50	yok
Eskibağlar Mahallesi	12.00	yok	7.50	var
Yenibağlar Mahallesi	7.00	yok	7.00	var
Vişnelik Mahallesi	6.50	yok	5.00	var
Şarhöyük ^b Mahallesi	6.50	yok	6.50	var

^aIshihara yöntemi 10 m'den derine uygulanamaz^bTekrarlayan sivilaşan ve sivilaşmayan seviyelerin analizinde Ishihara yöntemi uygulanamaz

Güvenlik katsayısı FS'ye bağlı olarak yapılan sivilaşma hesaplamalarına ilave olarak sivilaşma indeksi (Is) (Iwasaki, Tokida, Tatsuoka, Watanable, Yasudo ve Sato., 1982; Sönmez 2003); Sivilaşma olasılığı (Pl) (Chen ve Juang, 2000; Juang, Yuan, Lee, ve Ku., 2003; Lee, Ku ve Yuan., 2003) ve sivilaşma şiddeti İndeksi (Ls) (Sönmez ve Gökceoğlu, 2005) geliştirilmiştir. Tablo 3 de sivilaşma indeksi sınıflaması, Tablo 4 de sivilaşma olasılığına bağlı sınıflandırma ve Tablo 5 de sivilaşma şiddeti indeksi sınıflandırması verilmiştir. Tablo 6 da ise temel kazı alanlarında belirlenen Is , Pl ve Ls değerleri verilmiştir. 0.33g deprem senaryosunda Sümer Mah ve Şarhöyük Mah. Sivilaşma beklenmemektedir. Yenibağlar ve Eskibağlar Mahallelerinde Li sınıfı "Düşük", "Orta" iken Vişnelik Mahallesinde "Yüksek" Li değeri belirlenmiştir (Tablo 3). PL değerine göre her üç mahallede "Sivilaşmaya yatkın" olarak belirlenmiştir (Tablo 4). LSI değerine göre ise Yenibağlar ve Eskibağlar Mahallelerinde LSI sınıfı "Düşük", "Orta" iken Vişnelik Mahallesinde "Yüksek" LSI değeri belirlenmiştir (Tablo 5).

$a_{max}=0.48g$ deprem senaryosuna göre temel kazı alanlarının tamamında sivilaşma beklenmektedir. Li değeri Vişnelik mahallesinde "Çok yüksek" Eskibağlar ve Yenibağlar mahallelerinde "Yüksek", Sümer ve Şarhöyük mahallelerinde "Düşük" olarak belirlenmiştir (Tablo 3). PL değerlerine göre Şarhöyük ve Sümer mahalleleri "Orta", Eskibağlar mahallesi "Yüksek" ve Vişnelik, Yenibağlar mahalleleri "Hemen hemen kesin sivilaşır" sınıflaması içindedir (Tablo 4). LSI değerlerine göre Sümer ve Şarhöyük mahalleleri "Düşük", Yenibağlar, Eskibağlar ve Vişnelik mahalleleri "Orta" olarak sınıflandırılmıştır (Tablo 5).

Tablo 3. Sivilaşma İndeksi Sınıflandırması (Sönmez, 2003)

Sivilaşma indeksi (Li)	Sınıflandırma
0	Sivilaşma yok ($FL \geq 1.2$)
$0 < Li \leq 2$	Düşük
$2 < Li \leq 5$	Orta
$5 < Li \leq 15$	Yüksek
$Li \geq 15$	Çok yüksek

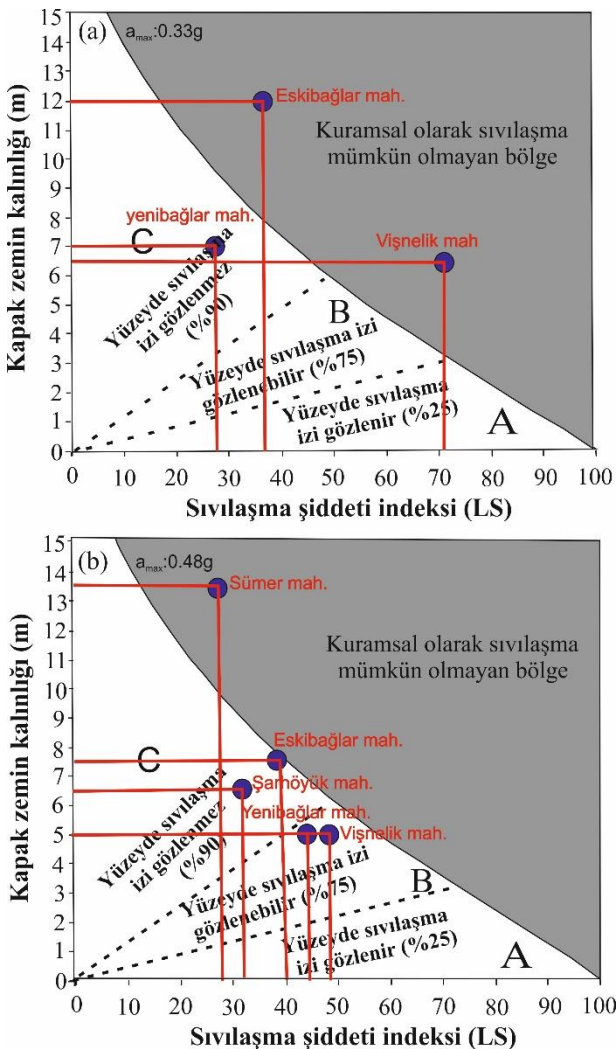
Tablo 4. Chen ve Juang (2000) Tarafından Önerilen Sivilaşma Olasılığına Bağlı Olarak Sivilaşabilirliği Tanımlamaları.

Olasılık (Pl) aralığı	Tanımlama	Güvenlik katsayıları (FL) aralığı
$0.85 \leq Pl < 1$	Hemen hemen kesinlikle sivilaşır	$0.653 \geq FL > 0.000$
$0.65 \leq Pl < 0.85$	Sivilaşmaya yatkın	$0.837 \geq FL > 0.637$
$0.35 \leq Pl < 0.65$	Sivilaşabilir/Sivilaşmaz	$1.102 \geq FL > 0.837$
$0.15 \leq Pl < 0.35$	Sivilaşmamaya yatkın	$1.411 \geq FL > 1.102$
$0.00 \leq Pl < 0.15$	Hemen hemen kesinlikle sivilaşmaz	$\infty \geq FL > 1.411$

Tablo 5. Sonmez ve Gökceoğlu (2005) Tarafından Önerilen Sivilaşma Şiddeti İndeksi Sınıflaması.

LSI aralığı	Tanımlama
$85 \leq LSI < 100$	Çok yüksek
$65 \leq LSI < 85$	Yüksek
$35 \leq LSI < 65$	Orta
$15 \leq LSI < 35$	Düşük
$0 < LSI < 15$	Çok düşük
$LSI = 0$	Sivilaşmaz

Sönmez ve Gökceoğlu (2005) çalışmalarında sivilaşmanın yer yüzeyindeki etkilerini tahmin etmek için bir abak önermiştir. Arazi gözlemlerine göre abak A zonu (%90), B zonu (%75) ve C zonu (%25) olarak 3 zona ayrılmış ve hiç vaka gerçekleşmeyen zon ise sınırlanmıştır. Şekil 22 a ve 22 b'de SPT verileriyle 0.33g ve 0.48g ivmeli deprem senaryolarında yer yüzeyinde sivilaşmanın deformasyonun tahmini görülmektedir. 0.33g deprem senaryosunda Sümer mahallesi ve Şarhöyük mahallesinde sivilaşma gerçekleşmeyecektir. Yenibağlar mahallesinde 0.33g deprem senaryosunda sivilaşma deformasyon izi yüzeyde beklenmemektedir. Eskibağlar ve Vişnelik mahallelerinde ise sivilaşma beklenmemektedir (Şekil 22a). 0.48g depremi senaryosuna göre Vişnelik ve Yenibağlar mahallelerinde yüzeyde sivilaşma deformasyonu beklenmektedir. Şarhöyük ve Eskibağlar mahallelerinde yüzeyde sivilaşma deformasyonu beklenmezken, Sümer mahallesinde sivilaşma beklenmemektedir.



Şekil 22. Sivilashmanın Yüzeydeki Varlığını Tahmin Eden Abakla Bu Çalışmanın Değerlendirilmesi (Sönmez ve Gökçeoğlu, 2005) (a) SPT Verileriyle $a_{max}=0.33g$ Depremi Senaryosu (b) SPT Verileriyle $a_{max}=0.48g$ Depremi Senaryosu.

4. Sonuç ve Öneriler

Bu çalışmada, Eskişehir ili sınırlarında 5 adet farklı derinliklerde açılmış temel kazılarda eski sivilashma varlığı araştırılmıştır. Sarhöyük ve Vişnelik mahallelerindeki temel kazılarda bulunan çok küçük sivilashma emareleri (kum mercekleri) dışında belirgin kum sokulumu ve benzeri oluşumlar diğer kazılarda bulunamamıştır.

Temel kazılarda araştırma amaçlı açılan sondaj verileri ve laboratuvar deneyleri sonuçları ile sivilashma analizleri ve yüzey deformasyon ihtimalleri araştırılmıştır. Temel kazılarda yeraltısuyu 2 m ile 7 m derinlikler arasında değişmektedir. Açılan sondajlarda ve temel kazılarda yüzeyden itibaren siltli kil, killi siltli kum, siltli kum zeminler, 9 m veya 10 m'den sonra sıkı çakılı litolojiye dönüşmektedir. Sondaj kuyularında SPT deneyleri yapılmıştır. SPT örneklerinden zemin index deneyleri yapılmıştır.

Sivilashma analizleri 1956 yılında oluşmuş 6.4 Mw büyüklüğünde gerçekleşen depremin oluşturduğu $a_{max}=0.33g$ ivme değeri ile Eskişehir ili içerisinde geçen yaklaşık 40 km uzunluğundaki Çukurhisar-Sultandere fayının tek seferde kırılabileceği ve $a_{max}=0.48g$ ivme oluşturabilecegi deprem senaryoları ile gerçekleştirilmişdir. $0.33g$ ivme ile oluşacak bir deprem senaryosunda Sarhöyük ve Sümer mahallelerinde sivilashma belirlenmemiştir. Yenibağlar ve Eskibağlar Mahallelerinde sivilashabilir tek seviye belirlenirken, Vişnelik mahallesinde birbirinden bağımsız iki farklı sivilashabilir seviye belirlenmiştir. $0.48g$ ivme ile oluşacak deprem senaryosunda tüm temel kazı sahalarında sivilashan seviyeler belirlenmiş ve bu seviyelerin kalınlıklarının $0.33g$ deprem senaryosuna göre arttığı görülmüştür.

Ishihara (1985) grafiğine göre $0.33g$ deprem senaryosunda Eskibağlar, Yenibağlar ve Vişnelik mahallelerinde yüzey deformasyonu oluşmayacağıdır. $0.48g$ deprem senaryosunda ise Sümer Mahallesi temel kazısı hariç diğer temel kazısı alanlarında yüzey deformasyonu beklenmektedir.

Sönmez ve Gökçeoğlu (2005)'nin Sivlaşma Şiddeti İndeksi-Kapak zemin Kalınlığı (m) abağına göre $0.33g$ deprem senaryosunda, Yenibağlar Mahallesinde deformasyon izi yüzeyde beklenmemektedir. Eskibağlar ve Vişnelik mahallelerinde ise sivilashma beklenmemektedir (Şekil 22a). $0.48g$ depremi senaryosuna göre Vişnelik ve Yenibağlar mahallelerinde yüzeyde sivilashma deformasyonu beklenmektedir. Sarhöyük ve Eskibağlar mahallelerinde yüzeyde sivilashma izi beklenmezken, Sümer mahallesinde sivilashma beklenmemektedir.

Bu çalışmada incelemeye alınan 5 ayrı temel kazısında geçmişte oluşmuş sivilashma belirti izleriyle karşılaşılmamıştır. Geçmiş depremlerde sivilashma gerçekleşmemiştir sonucunu ifade etmek için bu çalışma çok yetersizdir. Yapılan tüm kazilar incelenmelidir. Çukurhisar-Sultandere arasında yaklaşık 40 km uzunluğundaki fayın ayrıntılı çalışılması gerekmektedir. Fayın aktivitesi, tek seferde kırılma olasılığı, tekrarlama aralığı ve Eskişehir'e oluşturabilecegi risk belirlenmelidir. Alüvyon çökelimleri üzerinde yer alan Eskişehir ili yerleşim alanı için ayrıntılı mikrobölgeleme çalışmalarına öncelik verilmelidir.

Teşekkür

Bu çalışma Eskişehir Osmangazi Üniversitesi Bilimsel Araştırma Projeleri Koordinasyon Birimi tarafından 2015-669 "Eskişehir Kenti Tepebaşı İlçesinde sivilashma riski varlığının analizi ve Menard presiyometre deneyinin sivilashma analizlerinde kullanabilirliğinin araştırılması" projesi kapsamında Eskişehir Osmangazi Üniversitesi Bilimsel Araştırma Projeleri Komisyonu tarafından desteklenmiştir.

Araştırmacıların Katkısı

Makale tek yazarlıdır.

Çıkar Çatışması

Yazar tarafından herhangi bir çıkar çatışması beyan edilmemiştir.

Kaynaklar

Akin, M., Ozvan, A., Akin, M. K., & Topal, T. (2013). Evaluation of liquefaction in Karasu River floodplain after the October 23, 2011, Van (Turkey) earthquake. *Natural hazards*, 69, 1551-1575. DOI: 10.1007/s11069-013-0763-2

Altunel, E. ve Barka, A. (1997). "Eskişehir fay zonunun depremsellik aktivitesi bu zon üzerinde meydana gelen depremlere ait yüzey kırıklarının belirlenmesi ve değerlendirilmesi". Eskişehir Osmangazi Üniversitesi araştırma fonu projesi no:96/24

Aydan, Ö., Sezaki, M. & Yarar, M. (1996). The seismic character of Turkish Earthquakes. 11th World Conference of Earthquake Engineering Accapulco, Mexico, CD-2, 1025.

Ayday, C., Altan, M., Nefeslioğlu A.H., Canığür, A., Yeral, S. ve Tün, M. (2011). "Eskişehir Büyükşehir Belediyesi Eskişehir Yerleşim Yerinin yerleşim amaçlı jeoloji ve jeoteknik etüt raporu", Anadolu Üniversitesi Uydu ve Uzay Bilimleri Araştırma Enstitüsü, Eskişehir.

Chen, C.J. & Juang, C.H. (2000). Calibration of SPT- and CPT-based liquefaction evaluation methods. In: Mayne, P.W., Hryciw, R. (Eds.), Innovations and Applications in Geotechnical site Characterization. Vol. 97. Geotechnical Special Publication, ASCE, Reston, pp. 49-64.

Cox, R.T, Christopher, D., Yanjun, H. & Shanon, A.M. (2014). Use of small scale liquefaction features to asses paleoseismicity: an example from the saline river fault zone, Southeast Arkansas. *Frontiers in earth science*, Vol:2:31, USA. <https://doi.org/10.3389/feart.2014.00031>

Doyuran, V., Koçyigit, A., Yazıcıgil, H., Karahanoglu, N., Toprak, V., Topal, T. ve Yılmaz, K. K. (2000). Yenişehir Belediyesi Yerleşim Alanı Jeolojik/Jeoteknik İncelemesi. *METU Project*, 99-03.

Gözler, M.Z., Cevher, F., Ergül, E. ve Asutay, H.J. (1996). Orta Sakarya ve güneyinin jeolojisi, MTA Rapor No: 9973, 87 s., Ankara.

Ishihara, K. (1985). Stability of natural deposits during earthquakes. Proceedings of the 11th Internatioanl Conference on Soil mechanics and Foundation

Engineering, San Fransisco, CA, A.A. Balkema, Rotterdam vol. 1, 321-376.

Iwasaki, T., Tokida, K., Tatsuoka, F., Watanabe, S., Yasuda, S. & Sato, H. (1982). Microzonation for soil liquefaction potential using simplified methods. In: Proceedings of the 3rd International Conference on Microzonation, Seattle. vol. 3. pp. 1319-1330

Juang, C.H., Yuan, H., Lee, Der-Her. & Ku, C.S. (2002). Assessing CPT-based methods for liquefaction evaluation with emphasis on the cases from the Chi-Chi, Taiwan, earthquake. *Soil Dynamics and Earthquake Engineering* 22, 241-258. [https://doi.org/10.1016/S0267-7261\(02\)00013-1](https://doi.org/10.1016/S0267-7261(02)00013-1)

Kanaori, Y., Kawakami, S. I., Yairi, K. & Hattori, T. (1993). Liquefaction and flowage at archaeological sites in the inner belt of central Japan: tectonic and hazard implications. *Engineering Geology*, 35(1-2), 65-80. [https://doi.org/10.1016/0013-7952\(93\)90070-S](https://doi.org/10.1016/0013-7952(93)90070-S)

Kayabasi, A. & Gokceoglu, C. (2018). Liquefaction potential assessment of a region using different techniques (Tepebaşı, Eskişehir, Turkey). *Engineering geology*, 246, 139-161. <https://doi.org/10.1016/j.enggeo.2018.09.029>

Koyuncu, N.P. (2001). "Eskişehir il merkezindeki birimlerin jeo-mühendislik özelliklerinin değerlendirilmesi ve mühendislik jeoloji haritalarının hazırlanması", Yüksek Mühendislik Tezi. Hacettepe Üniversitesi, Fen Bilimleri Enstitüsü. Ankara.

Lee, Der-Her., Ku, C.S. & Yuan, H. (2003). A study of the liquefaction risk potential at Yuanlin, Taiwan. *Engineering Geoloy* 71 (1-2), 97-117. [https://doi.org/10.1016/S0013-7952\(03\)00128-5](https://doi.org/10.1016/S0013-7952(03)00128-5)

Port Harbour Research Institute, 1997, Handbook of Liquefaction Remediation of Reclaimed Land, A.A. Balkema, Rotterdam, 312 p.

Seed, H. B. & Idriss, I. M. (1982). Ground motion and soil liquefaction during earthquakes, *Earthquake Engineering Research Insititute Monograph Series*, 134 p.

Seed, H.B., Tokimatsu, L.F., Harder, M. & Chung, R.M. (1985). Influence of SPT procedures in Soil Liquefaction Resistance Evaluations, *Jornal of Geotechnical Engineering*, 111, 12, pp. 1425-1445. [https://doi.org/10.1061/\(ASCE\)0733-9410\(1985\)111:12\(1425\)](https://doi.org/10.1061/(ASCE)0733-9410(1985)111:12(1425))

Seed, HB., Woodward, RJ. & Lundgren, R. (1964). Fundamental Aspects of the Atterberg Limits. *J Soil Mech Found Div, ASCE*, 90(SM6):75-105

Seyitoğlu, G., Ecevitoğlu, G.B., Kaypak, B., Güney, Y., Tün, M., Esat, K., Avdan, U., Temel, A., Çabuk, A., Telsiz, S. & Uyar Adlaş, G.G. (2015). "Determining the main strand of the Eskişehir strike-slip faultzone using subsidiary structures and seismicity: a hypothesis tested by seismic reflection studies" Turkish J Earth Sci. 24: 1-20. doi:10.3906/yer-1406-5. <http://dx.doi.org/10.3906/yer-1406-5>

Sonmez, H. (2003). Modification to the liquefaction potential index and liquefaction susceptibility mapping for a liquefaction-prone area (Inegol-Turkey). Environ. Geol. 44 (7), 862-871. <https://doi.org/10.1007/s00254-003-0831-0>

Sönmez, H. & Gökçeoğlu, C. (2005) "A liquefaction severity index suggested for engineering practice", Environmental Geology, 48, 81-91. <https://doi.org/10.1007/s00254-005-1263-9>

Ocakoğlu, F. (2007). A re-evaluation of the Eskişehir Fault Zone as a recent extensional structure in NW Turkey. J. Asian Earth Sci. 31, 91-103. <https://doi.org/10.1016/j.jseaes.2007.05.002>

Ocakoğlu, F. & Açıkalın, S. (2009). Late Pleistocene fault induced uplift and consequent fluvial response in Eskisehir Fault Zone NW Anatolia. Z. Geomorphol. 53 (1), 121-136. <https://doi.org/10.1127/0372-8854/2009/0053-0121>

Ocakoğlu, F. & Açıkalın, S. (2010). "Field evidences of secondary surface ruptures occurred during the 20 February 1956 Eskişehir earthquake in the NW Anatolia" J. Earth Syst. Sci. 119, No. 6, pp. 841-851. <https://doi.org/10.1007/s12040-010-0057-y>

Wasti, Y. ve Ergun, U. (1985). Zeminin Şişme Davranışı, Dolgu Barajlar Yönünden Zemin Mekanığı Semineri, DSİ Genel Müdürlüğü TAK Dairesi Başkanlığı, Sayfa 11:1-17. ADANA

Youd, T.L., Idriss, I.M., Andrus, R.D., Arango, I., Castro, G., Christian, J.T., Dobry, R., Finn, W.D.L., Harder, L.F., Hynes, M.E., Ishihara, K., Koester, J.P., Liao, S.S.C., Marcuson, W.F., Martin, G.R., Mitchell, J.K., Moriwaki, Y., Power, M.S., Robertson, P.K., Seed, R.B. & Stokoe, K.H. (2001). Liquefaction resistance of soils: summary report from the 1996 NCEER and 1998 NCEER/NSF workshops on evaluations of liquefaction resistance of soils. Journal of Geotechnical and Geoenvironmental Engineering ASCE 127:(10), 817-833. [https://doi.org/10.1061/\(ASCE\)1090-0241\(2001\)127:10\(817\)](https://doi.org/10.1061/(ASCE)1090-0241(2001)127:10(817))